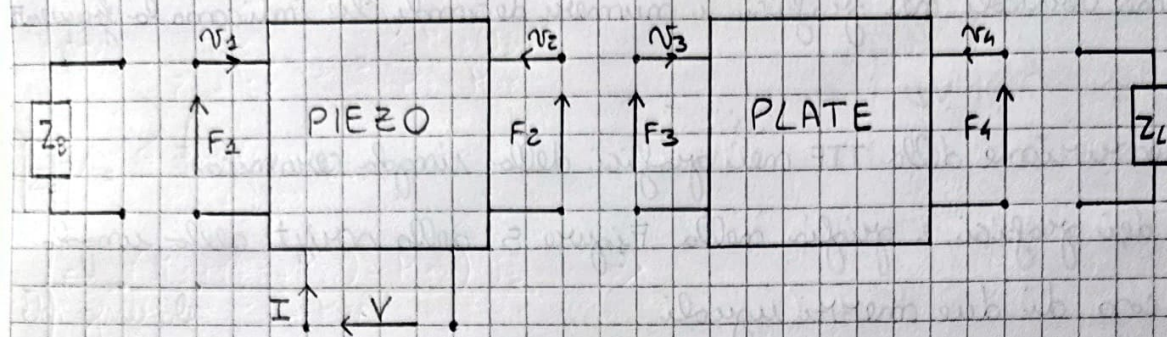


Modellazione teorica di un tiranduttore elettromecanico a lunga benda

Schematizzazione del problema con l'aiuto di reti due porte:



In generale per uno porta p di un nastro, l'impedenza di ingresso (in inglese driving-point impedance) è il rapporto tra la variabile "nastro" e la variabile "fluo" sulla stessa porta. Nel corso dell'elenco siamo ricominciati alla conversione tens. elett. \rightarrow def. mecc., avendo dall'unico porto elettrico uno è definita come:

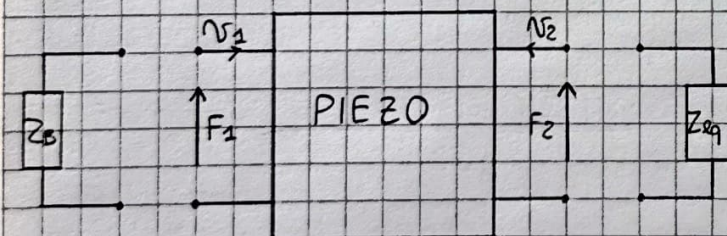
$$Z_{im,e} = \frac{V}{I}$$

Riconoscendo è semplicemente l'impedenza vista ai monetti della porta elettrica (ovvero la geniale soluzione della resistenza per il regime di corrente alternata CA) con tutte le sorgenti indipendenti interne disattivate.

In altre parole lo Z_{im} è esattamente l'impedenza equivalente di Thévenin Z_{th} della rete generata ai monetti della porta elettrica del piezoelettrico ($Z_{im} = Z_{th}$).

Tutto questo vor dire che dal punto di vista del calcolo di Z_{im} del piezoelettrico, nel caso in cui aggiungo tra l'interfaccia (posta) dentro del nastro e il corrispondente layer aggiuntivo (matching plate), è possibile sostituire il corrispondente Z_2 con l'impedenza equivalente Z_{eq} vista alla porta meccanica 2 del piezoelettrico, che riguarda plate + corrispondente Z_2 .

Dal discorso precedente passo alla seguente semplificazione della rete:



Procedo quindi a calcolare Z_{eq} . Per farlo mi concentro sul nastro trasportato dal plate + corrispondente. Quest'ultimo è un nastro puramente meccanico quindi le M_{ij} che lo descrivono sono ricavabili da quelle che descrivono la ceramica PZT cancellando il fattore di accoppiamento elettro-mecanico b_{33} :

$$\begin{bmatrix} F_3 \\ F_4 \end{bmatrix} = M \begin{bmatrix} V_3 \\ V_4 \end{bmatrix} \Rightarrow \begin{cases} F_3 = M_{11} V_3 + M_{12} V_4 \\ F_4 = M_{21} V_3 + M_{22} V_4 \end{cases}$$

Termino (ovvero aggiungo) la porta 4 con $Z_L = Z_2$:

$$\begin{aligned} F_4 &= -Z_2 V_4 \\ F_3 &= M_{11} V_3 + M_{12} V_4 \\ F_4 &= M_{21} V_3 + M_{22} V_4 \end{aligned} \Rightarrow \begin{cases} // \\ // \\ -Z_2 V_4 = M_{21} V_3 + M_{22} V_4 \end{cases} \Rightarrow$$

$$\left\{ \begin{array}{l} \\ \\ N_3 = -\frac{M_{21}}{Z_2 + M_{22}} N_3 \end{array} \right. \Rightarrow \left\{ \begin{array}{l} \\ \\ F_3 = M_{31} N_3 + M_{32} \left(-\frac{M_{21}}{Z_2 + M_{22}} N_3 \right) \Rightarrow \\ \\ F_3 = \left(M_{31} - \frac{M_{21} M_{32}}{Z_2 + M_{22}} \right) N_3 \end{array} \right. \Rightarrow \frac{F_3}{N_3} = M_{31} - \frac{M_{21} M_{32}}{Z_2 + M_{22}}$$

Per definizione, allo punto 3 plate+carico si comporta come un impedenza meccanica Z_{eq} tale che $Z_{eq} = F_3 / N_3$. Quindi:

$$Z_{eq} = M_{31} - \frac{M_{21} M_{32}}{Z_2 + M_{22}}$$

Dato che il plate è uniforme, lineare e fermo, con le variabili e i regni definiti allo stesso modo alle due porte Allora il plate (come viene anche evidenziato nello slide) è simmetrico e quindi:

$$M_{31} = M_{22}$$

$$M_{22} = M_{31}$$

Allora Z_{eq} è riunibile come:

$$Z_{eq} = M_{31} - \frac{M_{31}^2}{Z_2 + M_{31}}$$

(Notare come questa forma è molto simile a quella di Z_{im} vista per il pietro, ma è necessario tenere a mente che qui comparemo gli elem. della mat. M che è puramente meccanica mentre li comparemo gli elementi della mat. B che è elettromecanica. Hanno quindi funzione totalmente differente)

E infine possibile una volta calcolato Z_{eq} utilizzare a guisa di Z_2 per il calcolo della Z_{im} del sistema allo solito maniera (ovvero utilizzando la mat. B).

$$Z_{im} = B_{22} - \frac{B_{22}^2}{Z_{eq} + B_{22}} \quad \leftarrow$$

Questa "forma" dentro \rightarrow rimstra non è altro che l'applicazione ricorsiva (in questo caso \leftarrow) della formula di Z_{im} dei Z-parametri (Consultare pag "Impedance Parameters") utile per calcolare plate+carico a uno impedenza one-port equivalente Z_{eq} vista dal pietro. Questo fatto per il calcolo della Z_{im} elettrica del pietro, e' stata Z_{eq} per il calcolo della FTT nolo del pietro (nella Z_{eq} non sono stati presi in considerazione i carichi).

Se invece voglio calcolare la FTT totale, ovvero la FTT da V a F_4 , al contrario è necessario effettuare una "forma" rimstra \rightarrow dentro, quindi:

$$FTT = \frac{F_4}{V} \Rightarrow FTT = \frac{F_2}{V} \cdot \frac{F_4}{F_2} = \frac{F_2}{V} \cdot \frac{F_4}{F_3} = FTT_{PZT} \cdot \frac{F_4}{F_3}$$

Dove FTT_{PZT} lo si calcola come al solito considerando come Z_2 la Z_{eq} mentre F_4/F_3 va calcolato. La quantità F_4/F_3 lo si calcola continuando i sommi effettuati per ottenere Z_{eq} dal punto \oplus in sintonia, si procederà allo scrittura non solo di F_3 ma anche di F_4 in funzione di N_3 di modo che facendo il rapporto N_3 si compaia.

$$F_4 = -Z_2 N_3$$

$$F_3 = \left(M_{31} - \frac{M_{32}^2}{Z_2 + M_{22}} \right) N_3 = \frac{\left(M_{31}(Z_2 + M_{22}) - M_{32}^2 \right)}{Z_2 + M_{22}} N_3 = \frac{\left(M_{31}(Z_2 + M_{22}) - M_{32}^2 \right) N_3}{Z_2 + M_{22}}$$

$$N_1 = -\frac{M_{22}}{Z_2 + M_{22}} N_3 = \frac{-M_{22} N_3}{Z_2 + M_{22}}$$

$$F_4 = \frac{+Z_2 M_{22} N_3}{Z_2 + M_{22}}$$

$$F_3 = \frac{\left(M_{31}(Z_2 + M_{22}) - M_{32}^2 \right) N_3}{Z_2 + M_{22}} \Rightarrow$$

$$\frac{F_4}{F_3} = \frac{Z_2 M_{22} N_3}{Z_2 + M_{22}} \cdot \frac{Z_2 + M_{22}}{\left(M_{31}(Z_2 + M_{22}) - M_{32}^2 \right) N_3} = \frac{Z_2 M_{22}}{(Z_2 + M_{22}) M_{31} - M_{32}^2}$$

Siccome il plate è simmetrico ho che:

$$\frac{F_4}{F_3} = \frac{Z_2 M_{32}}{(Z_2 + M_{22}) M_{31} - M_{32}^2} = \frac{M_{32} Z_2}{M_{31} Z_2 + M_{31}^2 - M_{32}^2}$$

Quindi infine:

$$FTT = FTT_{PZ} \cdot \frac{M_{32} Z_2}{M_{31} Z_2 + M_{31}^2 - M_{32}^2} <$$

Se lo si vuole scrivere in forma esplicita:

$$FTT = \frac{B_{12} Z_{eq}}{B_{22} Z_{eq} + B_{12} B_{22} - B_{12}^2} \cdot \frac{M_{32} Z_2}{M_{31} Z_2 + M_{31}^2 - M_{32}^2}$$